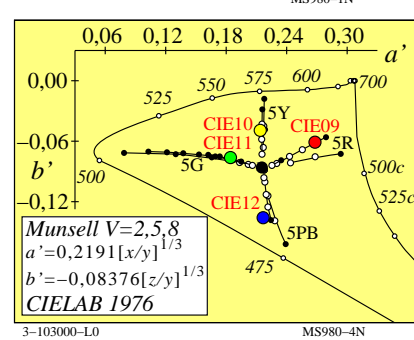
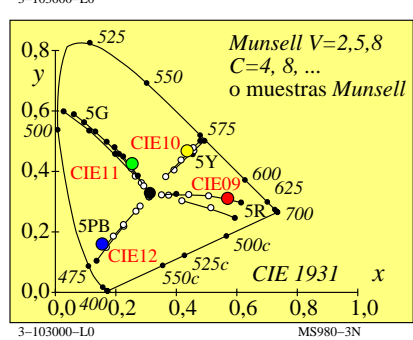


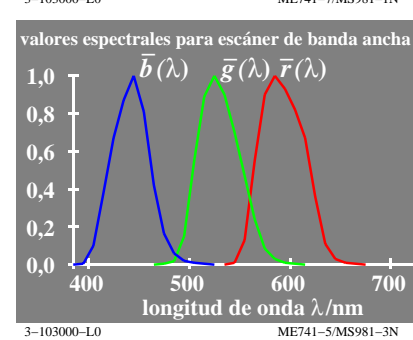
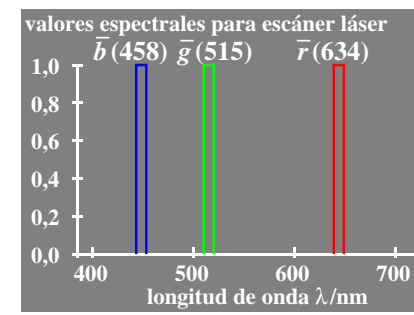
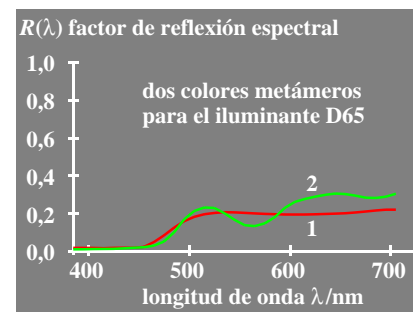
vea archivos semejantes: http://farbe.li.tu-berlin.de/MS98/MS98.HTM
 http://130.149.60.45/~farbmertik o http://farbe.li.tu-berlin.de

TUB matrícula: 20160501-MS98/MS98LOFP.PDF /.PS
 aplicación para la medida de display output

Atributos del color en métricas de color baja y alta	Tipo de mezcla de color	
	dicromática	tricromática
métrica de color baja o de valencia	(para $Y_- \geq B_-$)	(para $R_- \geq G_- \geq B_-$)
valor blanco	B_-	B_-
valor negro	$100 - Y_-$	$100 - R_-$
valor cromático	$Y_- - B_-$	$R_- - B_-$
métrica de color alta o de sensaciones	(para $Y^*_- \geq B^*_-$)	(para $R^*_- \geq G^*_- \geq B^*_-$)
blancura	B^*_-	B^*_-
negrura	$100 - Y^*_-$	$100 - R^*_-$
cromaticidad	$Y^*_- - B^*_-$	$R^*_- - B^*_-$



métrica de valencia de color (relación lineal con datos CIE 1931)		
términos de color lineales	nombre y relación con los valores triestímulo o cromaticidad CIE	notas
valores triestímulo	X, Y, Z	
valor cromático	diagrama lineal de valor cromático (A, B) rojo-verde: $A = [X/Y - X_n/Y_n] Y = [a - a_n] Y = [x/y - x_n/y_n] Y$ amarillo-azul: $B = -0,4 [Z/Y - Z_n/Y_n] Y = [b - b_n] Y = -0,4 [z/y - z_n/y_n] Y$ radial: $C_{AB} = [A^2 + B^2]^{1/2}$	n=D65 (campo circundante)
cromaticidad	diagrama de cromaticidad lineal (a, b) rojo-verde: $a = X/Y = x/y$ amarillo-azul: $b = -0,4 [Z/Y] = -0,4 [z/y]$ radial: $c_{ab} = [(a - a_n)^2 + (b - b_n)^2]^{1/2}$	comparar excitación lineal de conos $L/(L+M) = P/(P+D)$ $S/(L+M) = T/(P+D)$

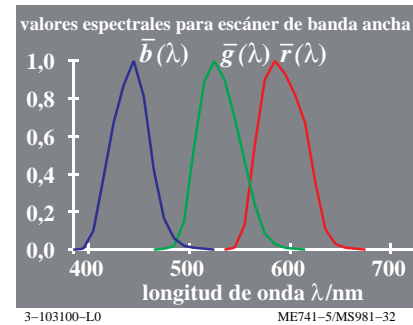
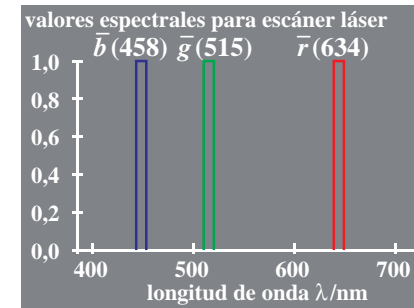
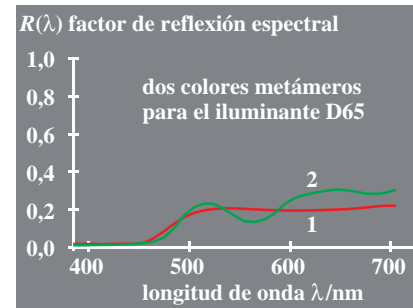
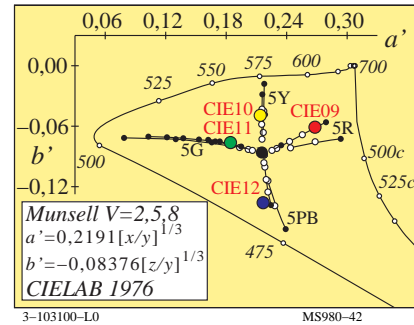
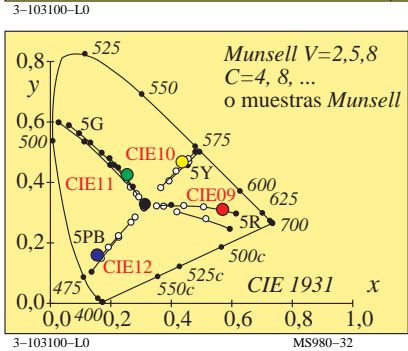


índice de fidelité de couleur R _i de de deux couleur métamères pour scanner		
scanner	TC indice de fidelité	différence de couleur
large bande	1	82
	2	84
laser	1	63
	2	69
idéal	1	100
	2	100

D65, adjustment pour papier blanc

métrico de color alto (relación no lineal con los datos CIE 1931)		
términos no lineales	nombre y relación con valores triestímulo o cromaticidad	notas
claridad	$L^* = 116 (Y/100)^{1/3} - 16$ ($Y > 0,8$) aproximación: $L^* = 100 (Y/100)^{1/2,4}$ ($Y > 0$)	CIELAB 1976
croma	transformación nolin de cromáticos A, B rojo-verde: $a^* = 500 [(X/X_n)^{1/3} - (Y/Y_n)^{1/3}] = 500 (a' - a'_n) Y^{1/3}$ amarillo-azul: $b^* = 200 [(Y/Y_n)^{1/3} - (Z/Z_n)^{1/3}] = 500 (b' - b'_n) Y^{1/3}$ radial: $C^*_{ab} = [a^{*2} + b^{*2}]^{1/2}$	CIELAB 1976 n=D65 (campo circundante)
cromaticidad	transformación no lineal de cromaticidades x/y, z/y rojo-verde: $a' = (1/X_n)^{1/3} (x/y)^{1/3} = 0,2191 (x/y)^{1/3}$ para D65 amarillo-azul: $b' = -0,4 (1/Z_n)^{1/3} (z/y)^{1/3} = -0,08376 (z/y)^{1/3}$ para D65 radial: $c'_{ab} = [(a' - a'_n)^2 + (b' - b'_n)^2]^{1/2}$	comparar log excitación de conos $\log[L/(L+M)]$ $= \log[P/(P+D)]$ $\log[S/(L+M)]$ $= \log[T/(P+D)]$

Atributos del color en métricas de color baja y alta	Tipo de mezcla de color	
	dicromática	tricromática
métrica de color baja o de valencia	(para $Y_{dd} \geq B_{dd}$)	(para $R_{dd} \geq G_{dd} \geq B_{dd}$)
valor blanco W	B_{dd}	B_{dd}
valor negro N	$100 - Y_{dd}$	$100 - R_{dd}$
valor cromático C	$Y_{dd} - B_{dd}$	$R_{dd} - B_{dd}$
métrica de color alta o de sensaciones	(para $Y^*_{dd} \geq B^*_{dd}$)	(para $R^*_{dd} \geq G^*_{dd} \geq B^*_{dd}$)
blancura W^*	B^*_{dd}	B^*_{dd}
negrura N^*	$100 - Y^*_{dd}$	$100 - R^*_{dd}$
cromaticidad C^*	$Y^*_{dd} - B^*_{dd}$	$R^*_{dd} - B^*_{dd}$



índice de fidelité de couleur R_i de deux couleur métamères pour scanner		
scanner	TC indice de fidelité	différence de couleur
large bande	1	82
	2	84
laser	1	63
	2	69
idéal	1	100
	2	100

D65, adjustment pour papier blanc

3-103100-L0 ME741-8/MS981-42

métrica de valencia de color (relación lineal con datos CIE 1931)		
términos de color lineales	nombre y relación con los valores triestímulo o cromaticidad CIE	notas
valores triestímulo	X, Y, Z	
valor cromático	diagrama lineal de valor cromático (A, B) rojo-verde $A = [X/Y - X_n/Y_n] Y = [a - a_n] Y$ $= [x/y - x_n/y_n] Y$ amarillo-azul $B = -0,4 [Z/Y - Z_n/Y_n] Y = [b - b_n] Y$ $= -0,4 [z/y - z_n/y_n] Y$ radial $C_{AB} = [A^2 + B^2]^{1/2}$	$n=D65$ (campo circundante)
cromaticidad	diagrama de cromaticidad lineal (a, b) rojo-verde $a = X/Y = x/y$ amarillo-azul $b = -0,4 [Z/Y] = -0,4 [z/y]$ radial $c_{ab} = [(a - a_n)^2 + (b - b_n)^2]^{1/2}$	comparar excitación lineal de conos $L/(L+M) = P/(P+D)$ $S/(L+M) = T/(P+D)$

3-103100-L0 MS980-72

métrico de color alto (relación no lineal con los datos CIE 1931)		
términos no lineales	nombre y relación con valores triestímulo o cromaticidad	notas
claridad	$L^* = 116 (Y/100)^{1/3} - 16$ ($Y > 0,8$) aproximación: $L^* = 100 (Y/100)^{1/2,4}$ ($Y > 0$)	CIELAB 1976
croma	transformación nolin de cromáticos A, B rojo-verde $a^* = 500 [(X/X_n)^{1/3} - (Y/Y_n)^{1/3}]$ $= 500 (a' - a'_n) Y^{1/3}$ amarillo-azul $b^* = 200 [(Y/Y_n)^{1/3} - (Z/Z_n)^{1/3}]$ $= 500 (b' - b'_n) Y^{1/3}$ radial $C^*_{ab} = [a^{*2} + b^{*2}]^{1/2}$	CIELAB 1976 $n=D65$ (campo circundante)
cromaticidad	transformación no lineal de cromaticidades x/y, z/y rojo-verde $a' = (1/X_n)^{1/3} (x/y)^{1/3}$ $= 0,2191 (x/y)^{1/3}$ para D65 amarillo-azul $b' = -0,4 (1/Z_n)^{1/3} (z/y)^{1/3}$ $= -0,08376 (z/y)^{1/3}$ para D65 radial $c'_{ab} = [(a' - a'_n)^2 + (b' - b'_n)^2]^{1/2}$	comparar log excitación de conos $\log[L/(L+M)]$ $= \log[P/(P+D)]$ $\log[S/(L+M)]$ $= \log[T/(P+D)]$

3-103100-L0 PE4300L_120830.TXT, 1080 colors, Separation cmyk6*
 entrada: rgb/cmyk → rgb_{dd}
 salida: 3D-linealización a rgb^*_{dd}

3-103100-L0 MS981-72

Gráfico TUB-MS98; la gráfica de Ordenador y colorimetry
 Imagine la serie MS98, 3D=1, de=0, L-cmyk6*

vea archivos semejantes: http://farbe.li.tu-berlin.de/MS98/MS98.HTM
 http://130.149.60.45/~farbmertik o http://farbe.li.tu-berlin.de

TUB matrícula: 20160501-MS98/MS98L0FP.PDF /.PS
 aplicación para la medida de display output, ninguna separación

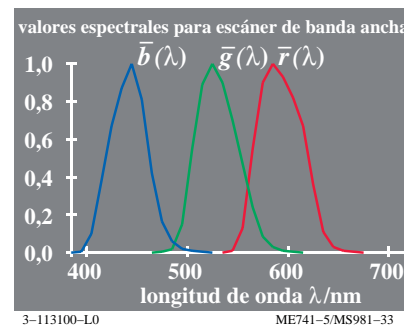
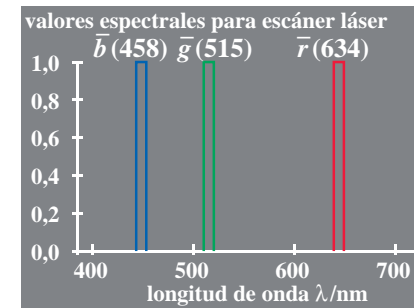
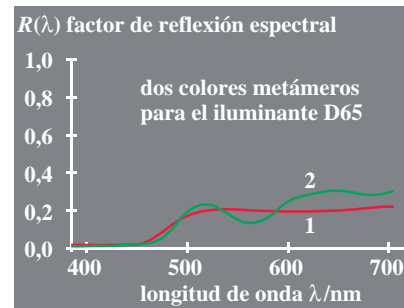
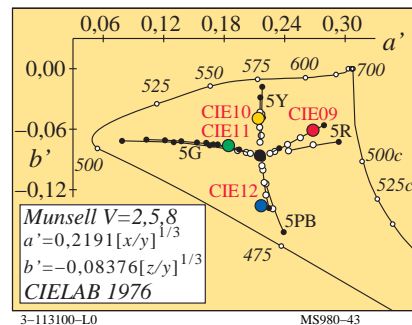
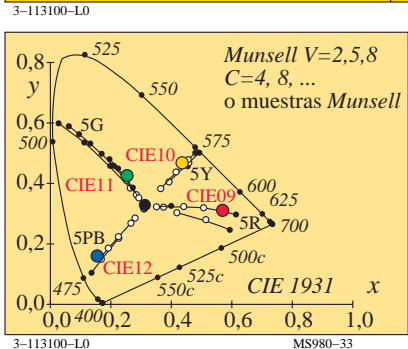
TUB material: code=rh4ta

vea archivos semejantes: http://farbe.li.tu-berlin.de/MS98/MS98.HTM
 http://130.149.60.45/~farbmertik o http://farbe.li.tu-berlin.de

TUB matrícula: 20160501-MS98/MS98L0FP.PDF /.PS
 aplicación para la medida de display output, ninguna separación

TUB material: code=rh4ta

Atributos del color en métricas de color baja y alta	Tipo de mezcla de color	
	dicromática	tricromática
métrica de color baja o de valencia	(para $Y_{de} \geq B_{de}$)	(para $R_{de} \geq G_{de} \geq B_{de}$)
valor blanco W	B_{de}	B_{de}
valor negro N	$100 - Y_{de}$	$100 - R_{de}$
valor cromático C	$Y_{de} - B_{de}$	$R_{de} - B_{de}$
métrica de color alta o de sensaciones	(para $Y^*_{de} \geq B^*_{de}$)	(para $R^*_{de} \geq G^*_{de} \geq B^*_{de}$)
blancura W^*	B^*_{de}	B^*_{de}
negrura N^*	$100 - Y^*_{de}$	$100 - R^*_{de}$
cromaticidad C^*	$Y^*_{de} - B^*_{de}$	$R^*_{de} - B^*_{de}$



índice de fidelité de couleur R_i de deux couleur métamères pour scanner		
scanner	TC indice de fidelité	différence de couleur
large bande	1	82
	2	84
laser	1	63
	2	69
idéal	1	100
	2	100

D65, adjustment pour papier blanc

métrica de valencia de color (relación lineal con datos CIE 1931)		
términos de color lineales	nombre y relación con los valores triestímulo o cromaticidad CIE	notas
valores triestímulo	X, Y, Z	
valor cromático	diagrama lineal de valor cromático (A, B) rojo-verde $A = [X/Y - X_n/Y_n] Y = [a - a_n] Y = [x/y - x_n/y_n] Y$ amarillo-azul $B = -0,4 [Z/Y - Z_n/Y_n] Y = [b - b_n] Y = -0,4 [z/y - z_n/y_n] Y$ radial $C_{AB} = [A^2 + B^2]^{1/2}$	$n=D65$ (campo circundante)
cromaticidad	diagrama de cromaticidad lineal (a, b) rojo-verde $a = X/Y = x/y$ amarillo-azul $b = -0,4 [Z/Y] = -0,4 [z/y]$ radial $c_{ab} = [(a - a_n)^2 + (b - b_n)^2]^{1/2}$	comparar excitación lineal de conos $L/(L+M) = P/(P+D)$ $S/(L+M) = T/(P+D)$

métrico de color alto (relación no lineal con los datos CIE 1931)		
términos no lineales	nombre y relación con valores triestímulo o cromaticidad	notas
claridad	$L^* = 116 (Y/100)^{1/3} - 16$ ($Y > 0,8$) aproximación: $L^* = 100 (Y/100)^{1/2,4}$ ($Y > 0$)	CIELAB 1976
croma	transformación nolin de cromáticos A, B rojo-verde $a^* = 500 [(X/X_n)^{1/3} - (Y/Y_n)^{1/3}] = 500 (a' - a'_n) Y^{1/3}$ amarillo-azul $b^* = 200 [(Y/Y_n)^{1/3} - (Z/Z_n)^{1/3}] = 500 (b' - b'_n) Y^{1/3}$ radial $C^*_{ab} = [a^{*2} + b^{*2}]^{1/2}$	CIELAB 1976 $n=D65$ (campo circundante)
cromaticidad	transformación no lineal de cromaticidades x/y, z/y rojo-verde $a' = (1/X_n)^{1/3} (x/y)^{1/3} = 0,2191 (x/y)^{1/3}$ para D65 amarillo-azul $b' = -0,4 (1/Z_n)^{1/3} (z/y)^{1/3} = -0,08376 (z/y)^{1/3}$ para D65 radial $c'_{ab} = [(a' - a'_n)^2 + (b' - b'_n)^2]^{1/2}$	comparar log excitación de conos $\log[L/(L+M)]$ $= \log[P/(P+D)]$ $\log[S/(L+M)]$ $= \log[T/(P+D)]$

Gráfico TUB-MS98; la gráfica de Ordenador y colorimetry
 Imagine la serie MS98, 3D=1, de=1, L-cmy $\bar{n}6^*$

PE4300L_120830.TXT, 1080 colors, Separation cmy $\bar{n}6^*$
 entrada: rgb/cmyk \rightarrow rgb \bar{d}_e
 salida: 3D-linealización a rgb \bar{d}_e